

名古屋大学大学院 ○学生員 信田 亘
 名古屋工業大学部 正会員 岩田好一郎
 東急建設株式会社 正会員 越智 健三

1. 緒言 緩斜面上への不規則波の越上特性に関する研究は比較的多く行なわれているが、現地海岸における越上波の特性を取扱つた研究は極めて少ない。本研究では自然海波における越上波の特性を解明するため、金石海岸で越上波の計測を行ない越上波の特性について検討を加えたので、その結果の一部を報告する。

2. 現地観測 昭和55年9月8・9日、11月27日の3日間、石川県金沢市金石海岸で越上波の実測を行なった。この海岸は、両端が奥堤で団子れいた延長2160mの海岸である。観測地点はその中央O点、左石に270m離れたL・R点の計3点を選んだ。それよりこの地点での海浜勾配は、9月の計測時にRの汀線近傍で $1/10$ 勾配であった以外はすべて汀線直傍で $1/6$ 勾配、それより沖側では約 $1/20$ の緩勾配であった。

越上波を計測する越上計は、径2mm長さ20mの電気容量線式越上計である。計測に際しては越上計の先端をアンカーで海中に固定した。測線上では砂面に打込んだ木杭で容量線を固定し波により移動しないようにならした。なお、砂の移動の激しい箇所は容量線が砂に埋まらないように容量線を砂面上に5mm程度持ち上げそれ以外の箇所では砂面にはわせた。越上波の記録は全て4chの磁気テープに収録し、その計測時間は約40分である。越上波に對応する入射波としては、運輸省第1港湾建設局七尾港工事事務所の水深-2Dm地点に設置された超音波式水位計の記録を借用した。入射波と越上波の時間波形は $1/12$ で離散化し、FFT法によりパワースペクトルを求め、またゼロアップクロス法により波の波別解析を行なった。実測は9月9日12時L点、14時O点、16時R点、11月27日12時O点、14時R点、16時L点に行なった。これら以外にも実測期間中にO点で4回の計測を行なっている。実測時の入射波の特性は表-1に示すように、9・11月とも12時から16時の間では僅かしか変化していない。入射波の波高と周期の分布はRayleigh分布及び T^2 -Rayleigh分布ほぼ一致している。また、波向はほぼ北面であった。越上波計測地点の砂の粒径及び透水係数は9月は $d_{50} \approx 0.33\text{mm}$, $k \approx 0.165\text{cm/s}$ であり11月では $d_{50} \approx 0.26\text{mm}$, $k \approx 0.136\text{cm/s}$ であった。

3. 実測結果とその考察 図-1に実測越上波形の一例を示す。越上波形の特徴としては、越上先端部が比較的立ちっていることである。これは、小さな波は大きな波にのみ込子されやすく小さな越上波が起りにくいくこと、並に大きな越上波は軽いため砂面上へ越上するため粗度透水性の効果により越上高さが頭打ちになるためと考えられる。図-2は、9月9日のO点の越上波スペクトルと入射波スペクトルを示す。なお、入射波スペクトルは9・11月とも12時から16時の間に大差は見られずピーク周波数はそれを 0.18Hz , 0.12Hz である。越上波スペクトルの一般的な性質は高周波数域と低周波数域にそれぞれピークを持つことである。高周波数域のピークは、入射波のピーク周波数域に対応する成分波より生じたと考えられる。また、低周波数域のパワーの増大は、汀線近傍にはより高周波数の波が低周波数の波にのみ込子されるに大きくなることによる。越上周期分布はワイル確率紙上で示すと(図-3参照)、9月のR点は例外を除いて $T/1$ (T は平均周期) <1.0 では T^2 -Rayleigh

Date & direction	Wind speed	Tidal level(cm)	$H_{1/3}$ (m)	$T_{1/3}$ (sec)	$H_{1/3}/L_{1/3}$	f_p (Hz)		
1980 9.9								
12:00	2.9m/sec	E	T.P.	26	0.50	5.22	0.0118	0.18
14:00	5.5	ENE		29	0.53	5.39	0.0116	0.18
16:00	5.5	ENE		26	0.55	5.24	0.0128	0.18
11.27								
12:00	4.7	NNNE		-34	0.94	6.67	0.0135	0.12
14:00	2.5	NNW		-36	0.90	6.85	0.0123	0.11
16:00	3.8	ENE		-29	0.86	6.78	0.0119	0.12

表-1 入射波の特性

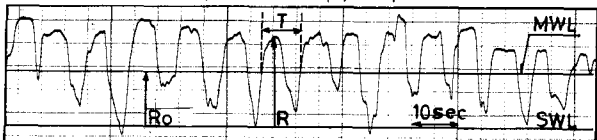


図-1 実測越上波形

分布に近く、 $T/\bar{T} \geq 1.0$ では非常に緩勾配の分布形状となる。この事は、
潮上波の周期は入射波成分に対応する周期成分と、それ以外の長周期成
分より構成されといふことを示す。この長周期成分は、入射波の包絡波
成分に対応するものとも考えられ、9月と11月で長周期成分の分布が
異なる原因として包络波形の違いが予想される。9月のR点では斜面勾
配が緩いために、入射波成分に対応する部分でも波の重なり合いが強く
 T^2 -Rayleigh 分布から大きくはずれたものと考えられる。いずれにしま
も分布形状は $T/\bar{T}=1.0$ 附近で折れ曲がっている。このような分布形状を
複合ワイル分布で表現すると次式のようになる。

$$P(T/\bar{T}) = \begin{cases} 6.0 (T/\bar{T})^{3.3} \exp\{-1.4(T/\bar{T})^{0.3}\}, & 0 \leq T/\bar{T} < 1.0 \\ 1.2 (T/\bar{T})^{-0.1} \exp\{-1.4(T/\bar{T})^{0.9}\}, & 1.0 \leq T/\bar{T} < 9.0 \\ 2.0 (T/\bar{T})^{0.4} \exp\{-1.4(T/\bar{T})^{1.4}\}, & " " \end{cases} \quad (1)$$

9月

11月

(2)

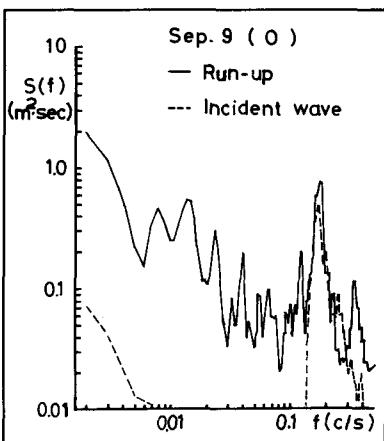


図-2 パワースペクトル

一方、潮上高さの分布特性は図-4 に有義潮上高さ $R_{1/3}$
との比で示されている。同図によると、 $R/R_{1/3} \approx 0.55$ から
始まるたちあかりの強い分布形状となり、特に9月の3
地点、11月のR点ではその傾向が強い。これは R_0 (潮上
波平均水位の上昇量) の大小にもよるが、先に述べた潮
上波の先端部が比較的そろっているという特徴のために
考えられる。潮上高さの場所的違いを明らかにするため
表-2 に $R/R_{1/3}$ 等の値を示す。9月の潮上高さが11月に比
べ低いのは、入射波高が低いことによる。なぜかもR点
が低いのはOやL点より斜面勾配が緩いためである。何
より、9月のR点は他の測点と異なり左右より交互に波が
潮上したため波が重なり潮上波の周期は極めて長くなっ
ている。11月の実測では潮上高さはR点で高く、L点で
低かったが、9月の実測時に比べ海浜の左側ほど大きく
洗掘されており、海浜地形が著しく変わっていた。潮上
高さに及ぼす一要因として海浜流があげられよう。9月
と11月の実測ではRとOの中間点からL方向に沿岸流が
発生していた。潮上高さはO点で高くL点で低くなる、マ
ーク。このことは、潮上高さと海浜流の間に何らかの関
係があることを指唆するものと考えられ、今後検討して
いく必要があろう。

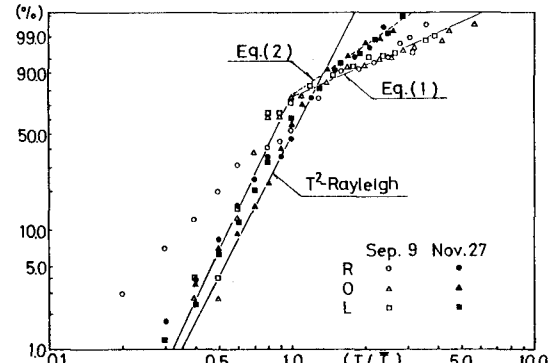


図-3 潮上波の周期分布

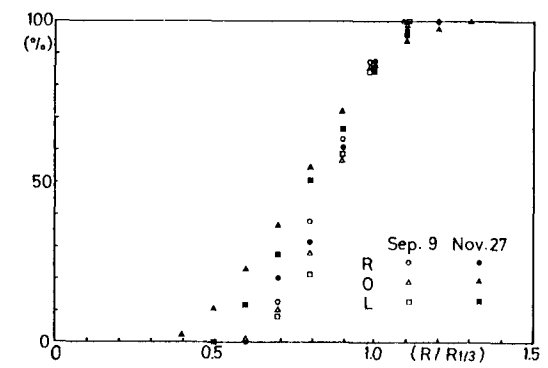


図-4 潮上高さの分布

以上、自然海浜で実測した潮上波の特性について報告した。著者らはこう
いった潮上波の潮上高さと潮上周期の分布を推算する方法を検討しており、
これについては後日報告する。本研究は自然災害特別研究(1)(京大防災研究所
屋義人教授代表)による研究である。資料を提供された運輸省土木工事事務
所に謝意を表する次第である。

〈参考文献〉 1)首藤; 第23回年講, 2)久保・達藤; 第23回年講

3)岩田・榎木; 第17回自然災害シンポジウム, 4)岩田・榎木; 第35回年講

Point	$R_0(m)$	$R_{1/3}(m)$	$T_{1/3}(\text{sec})$
9.9			
L	0.38	0.61	8.50
O	0.40	0.64	8.26
R	0.22	0.36	13.16
11.27			
O	0.48	1.36	10.83
R	1.07	1.77	10.28
L	0.43	0.89	11.05

表-2 潮上波の特性